УЛК 544.6

ПРОТОННАЯ И КИСЛОРОД-ИОННАЯ ПРОВОДИМОСТЬ ЧИСТЫХ И ЛЕГИРОВАННЫХ ЛАНТАНОИДАМИ ГАФНАТОВ РЗЭ СО СТРУКТУРОЙ ПИРОХЛОРА¹

© 2023 г. А. В. Шляхтина^{a, *, **, Н. В. Лысков^{b, c}, И. В. Колбанев^a, Е. Д. Балдин^a, А. В. Касьянова^{d, e}, Д. А. Медведев^{d, e}}

^аФедеральный исследовательский центр химической физики им. Н.Н. Семенова РАН (ФИЦ ХФ РАН), Москва, Россия ^bФедеральный исследовательский центр проблем химической физики и медицинской химии РАН, Черноголовка, Россия ^cНациональный исследовательский университет "Высшая школа экономики", Москва, Россия ^dИнститут высокотемпературной электрохимии, Уральское отделение РАН, Екатеринбург, Россия ^eУральский Федеральный университет им. Первого президента России Б.Н. Ельцина, Екатеринбург, Россия *e-mail: annashl@inbox.ru

> **e-mail: annash@chph.ras.ru Поступила в редакцию 22.06.2022 г. После доработки 26.10.2022 г. Принята к публикации 22.12.2022 г.

В настоящей работе методом механической активации с последующим высокотемпературным синтезом при 1600° С (3–10 ч) синтезирована высокоплотная керамика Ln_2 Hf₂O₇ ($Ln = \hat{L}a$, Nd, Sm, Eu, Gd) и проведено сравнение ее транспортных свойств с твердыми растворами L_{n_2} Hf_{1.9}O_{6.95} ($L_n = L_a$, Nd, Sm, Eu). Общая проводимость керамики исследована на переменном (метод импеданс-спектроскопии) и постоянном токе, а также для Ln_2 Hf₂O₇ (Ln = Sm, Eu) — методом определения общей проводимости в зависимости от парциального давления кислорода. Максимальная кислород-ионная проводимость установлена для $Gd_2Hf_2O_7$ (~1 × 10⁻³ Cm/cm при 700°C), и впервые показано, что ее величина близка к проводимости $Gd_2Zr_2O_7$ (~2 × 10^{-3} Cм/см при 700° C). Таким образом, гафнат гадолиния может оказаться перспективным материалом для дальнейшего легирования с целью получения высокопроводящих электролитов. Протонная проводимость среди чистых гафнатов РЗЭ достоверно установлена только у Nd₂Hf₂O₇, однако измерения на переменном токе показали низкотемпературную протонную проводимость до 450°C и для $Gd_2Hf_2O_7$. С уменьшением ионного радиуса лантаноида возрастает кислород-ионная проводимость в ряду Ln_2 Hf₂O₇ (Ln = La, Nd, Sm, Gd). Хотя проводимость гафната самария на порядок ниже, чем у $Gd_3Hf_2O_7$, он обладает широким диапазоном кислород-ионной проводимости ($\sim 10^{-18} - 1$ атм при 700, 800° C), а вклад дырочной проводимости на воздухе отсутствует, в отличие от $Eu_2Hf_2O_7$. Среди твердых растворов $Ln_{2.1}Hf_{1.9}O_{6.95}$ (Ln = La, Nd, Sm, Eu) протонную проводимость ~8 × 10⁻⁵ См/см при 700°С показали $Ln_{2.1}\text{Hf}_{1.9}\text{O}_{6.95}$ (Ln = La, Nd). С уменьшением ионного радиуса лантаноида протонная проводимость исчезает. а кислород-ионная возрастает.

Ключевые слова: ТОТЭ, пирохлор, кислородная проводимость, протонная проводимость **DOI:** 10.31857/S0424857023060051, **EDN:** PYGLRR

ВВЕДЕНИЕ

Материалы со структурой пирохлора $Ln_2M_2O_7$ ($Ln_2O_3 + 2MO_2$) (Ln = La-Lu; M = Ti, Zr, Hf) являются привлекательными для создания твердооксидных топливных элементов (**TOTЭ**) и термобарьерных покрытий из-за их устойчивости в

окислительно-восстановительных условиях и высокотемпературной стабильности [1–5]. Твердые растворы на основе $Ln_2M_2O_7$ имеют значительные области гомогенности $Ln_{2\pm x}M_{2\pm x}O_{7\pm \delta}$, ширина которых определяется температурой синтеза и характером легирующего оксида (Ln_2O_3 или MO_2). Такие твердые растворы являются однофазными материалами со структурой пирохлора, согласно дифракционным методам исследования (рентгеноструктурный анализ (**PCA**), нейтронная

¹ По материалам доклада на 16-м Международном Совещании "Фундаментальные проблемы ионики твердого тела", Черноголовка, 27.06.—03.07.2022.

дифракция, синхротрон). Проведенные в последнее время исследования областей гомогенности методами спектроскопии комбинационного рассеяния (КР) и спектроскопии ближнего края рентгеновского поглощения (XANES) в титанатных и цирконатных системах показали их локальную неоднородность [6–8]. Однако явление наноструктурирования твердых растворов, принадлежащих областям широкого изоморфизма $Ln_{2\pm x}M_{2\pm x}O_{7\pm \delta}$ с изменяющимся соотношением Ln/M (Ln = La-Lu; M = Ti, Zr, Hf), в титанатных, цирконатных и гафнатных системах может быть использовано для получения материалов с высокой кислород-ионной проводимостью [6-8]. Структурная неоднородность проявляется в том, что твердые растворы со структурой пирохлора, согласно дифракционным методам, представляют собой матрицу пирохлора, в которой присутствуют нанодомены флюорита, обнаружить которые можно лишь с использованием спектроскопических методов. А твердые растворы со структурой флюорита, наоборот, представляют собой матрицу флюорита, в которой находятся нанодомены пирохлора ("stuffed pyrochlore solid solution") [6-10]. Кроме этого, иногда наблюдаются явления расслоения на две пирохлорные фазы с разными параметрами, что также может способствовать повышению кислород-ионной проводимости [6].

При введении катионов, отличных от катионов решетки пирохлора (лантаноида или металла), также формируются однофазные материалы, но предел замещения в каждом случае будет определяться соотношением ионных радиусов, методом синтеза и температурой термообработки, и он, как правило, меньше, чем при легировании собственными катионами решетки [5].

Для электрохимических приложений (ТОТЭ, мембраны для получения кислорода и водорода) цирконаты редкоземельных элементов (РЗЭ) являются наиболее перспективными материалами с точки зрения их стабильности в восстановительных условиях, а также отсутствия дырочной проводимости при высоких парциальных давлениях кислорода [11–13]. Следует отметить, что наибольшая величина кислород-ионной проводимости среди чистых цирконатов РЗЭ оказалась у нелегированного $Gd_2Zr_2O_7$, которая составляет ~2 × \times 10⁻³ См/см при 700°С, (3–7) \times 10⁻⁵ См/см при 450°С и практически не зависит от способа синтеза и продолжительности отжига [2, 14–19]. Среди легированных цирконатов РЗЭ максимальная проводимость обнаружена для литий-допированного $Gd_2Zr_2O_7$ [16] и для твердого раствора на ос-HOBE $(Nd_{2-x}Zr_x)Zr_2O_{7+x/2}$ (x = 0.2, 0.4) [8, 20].

Протонная проводимость пирохлоров исследуется с 1996 г. Шимура (Shimura) [21] исследовал протонную проводимость сложных оксидов со

структурой пирохлора на основе $Ln_2Zr_2O_7$ (Ln == La, Nd, Sm, Gd и Er) и обнаружил, что проводимость $Ln_2 Zr_{1,8} Y_{0,2} O_{7-\delta}$ (Ln = La, Nd, Sm, Gd и Er) в атмосфере водорода при T > 600°C сопоставима с протонной проводимостью перовскитов. Влияние легирования позиции La щелочноземельными металлами (Mg, Ca, Sr, Ba) в пирохлоре $La_{7}Zr_{2}O_{7}$ на его протонную проводимость детально изучено [22, 23]. Интересно, что чистый $La_{2}Zr_{2}O_{7}$ также обладает протонной проводимостью, но величина ее низкая [24]. Наибольшая протонная проводимость была впервые получена при легировании лантановой подрешетки Са [22]. Проводимость ($La_{1.97}Ca_{0.03}$) $Zr_2O_{7-\delta}$ между 600 и 700° С была определена как 4×10^{-4} См/см [22]. В последние годы данные по протонной проводимости легированных кальцием цирконатов РЗЭ были уточнены и дополнены [25–28]. Протонная проводимость легированных Са цирконатов РЗЭ во влажном воздухе составила 7×10^{-4} См/см при 600°С для (La_{2 - x}Ca_x)Zr₂O_{7 - δ} (x = 0.05), ~2.5 × \times 10⁻⁴ См/см при 600°С для (Nd_{2 - x}Ca_x)Zr₂O_{7 - δ} (x = 0.05) и 7.5 × 10^{-4} См/см при 600° С для $(Sm_{2-x}Ca_{x})Zr_{2}O_{7-\delta}$ (x = 0.05).

Среди титанатов РЗЭ со структурой пирохлора протонная проводимость обнаружена для $Sm_2Ti_2O_7$ при его легировании кальцием в подрешетку самария и при легировании иттрием в подрешетку титана [29]. Аррениусовские зависимости объемной проводимости $Sm_{1.92}Ca_{0.08}Ti_2O_{7-\delta}$ и $Sm_2Ti_{1.92}Y_{0.08}O_{7-\delta}$ исследованы в сухой и влажной атмосферах O_2 и Ar, а также в атмосфере D_2O . Как и для La₂Zr₂O₇, легирование подрешетки самария кальцием позволило получить высокую протонную проводимость для $Sm_{1.92}Ca_{0.08}Ti_2O_{7-\delta} \sim 10^{-4} \ Cm/cm$ при 500°C. Однако в легированном титанате самария протонная проводимость наблюдается только до 500°C. При более высоких температурах доминирует кислород-ионный характер проводимости. Важно, что практически все титанаты РЗЭ отличаются отсутствием дырочной проводимости при высоких парциальных давлениях кислорода [5].

Гафнаты РЗЭ со структурой пирохлора изучали как кислород-ионные проводники [4, 30—35] и материалы для термобарьерных покрытий [36—38] наряду с цирконатами и титанатами РЗЭ со структурой пирохлора. С использованием механоактивации смеси оксидов и последующего высокотемпературного отжига при 1500° С синтезированы гафнаты средних и тяжелых РЗЭ Ln_2 Hf₂O₇ (Ln = Sm, Eu, Gd, Dy, Y, Ho, Yb). Структуру пирохлора имели Ln_2 Hf₂O₇ (Ln = Sm, Eu, Gd) с максимальной кислород-ионной проводимостью у Gd_2 Hf₂O₇ ~ 1.2×10^{-4} См/см при 750° C [4]. Гафнаты тяжелых РЗЭ со структурой флюорита имели более низкую кислород-ионную проводи-

Таблица	1.	Параметр	элементарной	ячейки	чистых
гафнатог	3 P.	39 Ln ₂ Hf ₂ O	$_{7}$ ($Ln = La, Nd,$	Sm, Eu,	Gd)

Состав	Параметр a , Å	Условия получения
La ₂ Hf ₂ O ₇	10.775(2)	1600°С, 10 ч
$Nd_2Hf_2O_7$	10.644(2)	1600°С, 10 ч
$Sm_2Hf_2O_7$	10.574(2)	1600°С, 3 ч
$Eu_2Hf_2O_7$	10.542(2)	1600°С, 3 ч
Gd ₂ Hf ₂ O ₇	10.519(1)	1600°С, 4 ч

Таблица 2. Параметр элементарной ячейки легированных гафнатов РЗЭ $Ln_{2.1}$ Hf_{1.9}O_{6.95} (Ln = La, Nd, Sm, Eu, Gd)

Состав	Параметр a , Å	Условия получения
La _{2.1} Hf _{1.9} O _{6.95}	10.786(3)	1600°С, 10 ч
$Nd_{2.1}Hf_{1.9}O_{6.95}$	10.665(2)	1600°С, 10 ч
$Sm_{2.1}Hf_{1.9}O_{6.95}$	10.580(1)	1450°С, 4 ч
$Eu_{2.1}Hf_{1.9}O_{6.95}$	10.497(3)	1600°С, 4 ч

мость, чем гафнаты середины ряда РЗЭ. Наиболее высокую проводимость среди них показали $Ln_2Hf_2O_7$ (Ln=Dy, Ho) (~2.5 × 10^{-5} Cм/см при 750°C) [4, 33].

Протонная проводимость впервые была обнаружена среди гафнатов РЗЭ для чистого $Nd_2Hf_2O_7$ (1.25 × 10^{-6} См/см при 700° С) и легированного — $Nd_2(Hf_{1.9}Nd_{0.1})O_{6.95}$ (~1 × 10^{-4} См/см при 700° С) [39], а также сравнительно недавно для $La_2(Hf_{1.9}La_{0.1})O_{6.95}$ [40].

В настоящей работе была поставлена задача выявить основные тенденции соотношений между кислород-ионной и потенциальной протонной проводимостью в ряду чистых гафнатов РЗЭ Ln_2 Hf₂O₇ (Ln = La, Nd, Sm, Eu, Gd) со структурой пирохлора и в ряду легированных в подрешетку гафния лантаноидом $Ln_{2.1}$ Hf_{1.9}O_{6.95} (Ln = La, Nd, Sm, Eu).

ЭКСПЕРИМЕНТАЛЬНАЯ ЧАСТЬ

Синтез керамики проводили с использованием механически активированной смеси оксидов La_2O_3 (99.99% ТУ 48-4-523-90, Россия), Nd_2O_3 (99.9%, Ganzhou Wanfeng Advanced Materials Technology Co., Ltd.), Sm_2O_3 (99.9%, TУ 48-4-523-89, Россия), Eu_2O_3 (99.9%, EuO-I, ТУ 48-4-194-72, Россия), Gd_2O_3 (99.9%, GdO-I, ТУ 48-4-200-72, Россия), Gd_2O_3 (91.9%, GdO-I, TУ 48-4-200-72, Россия), Gd_2O_3 (91.9%, GdO-I, TУ 48-4-200-72, Россия), Gd_2O_3 (91.9%, GdO-I), ТУ 48-4-200-72, Россия), Gd_2O_3 (91.9%, GdO-I), Gd_2O_3 (91.9%, GdO-I), Gd_2O_3 (91.9%), Gd_2O_3 (

рошков (давление 680 МПа) проводили при 1600° С в течение 10 ч для Ln_2 Hf $_2$ O $_7$ (Ln = La, Nd) и $Ln_{2.1}$ Hf $_{1.9}$ O $_{6.95}$ (Ln = La, Nd), а для Ln_2 Hf $_2$ O $_7$ (Ln = Sm, Eu, Gd) и $Ln_{2.1}$ Hf $_{1.9}$ O $_{6.95}$ (Ln = Sm, Eu) при той же температуре 1600 или 1450° С в течение 3-4 ч. Известно, что гафнатные системы с крупными катионами РЗЭ инертны и требуют более высоких температур и большее время для синтеза соединений. Для отжига на воздухе использовали высокотемпературную муфельную печь F46100 (Barnstead International). Тип нагревателей Super Kanthal 33 (MoSi $_2$).

Плотность исследуемых керамик определялась геометрическим методом, а также, в ряде случаев, гидростатическим взвешиванием в толуоле.

Керамику растирали в порошок, который анализировали методом рентгенофазового анализа (**РФА**) на дифрактометре ДРОН-3M, CuK_{α} -излучение, диапазон углов $2\theta = 10^{\circ} - 75^{\circ}$, шаг 0.1° , $\tau = 3$ с.

Образцы для импедансных измерений представляли собой таблетки диаметром 8.8-9.6 мм и толщиной 2.0-3.6 мм. В качестве электродов на торцы образцов было нанесено платиновое пористое покрытие. Импедансные измерения ионной проводимости в сухой и влажной воздушных атмосферах были проведены в режиме охлаждения с помощью импедансметра P-5X (Elins, Россия) в диапазоне частот от 0.1 Гц до 500 кГц при амплитуде сигнала 150 мВ в диапазоне температур 100— 900°С. Сухая атмосфера создавалась пропусканием воздуха через КОН, а влажная атмосфера — через водяной сатуратор, выдерживаемый при температуре 20°C, что обеспечивало постоянную влажность около 0.023 атм (2.3% H_2O). Скорость потока воздуха составляла 130 мл/мин. Для достижения равновесия с водяным паром до измерения электропроводности образец выдерживали при каждой температуре в течение 40 мин. Аппроксимацию данных импеданса выполняли с помощью программы ZView (Scribner Associates Inc., США) [41].

Общая проводимость гафнатов в ряде случаев была измерена также с применением 4-зондового метода на постоянном токе. Измерения проводились с использованием микропроцессорной системы Zirconia-M (Микропроцессорная система Zirconia-M создана на базе ООО "Исследовательские Технологии" (проект Zirconia, Екатеринбург, Россия)) при температурах 500-900°C в сухом воздухе, а также во влажных окислительной и восстановительной атмосферах (воздух, азот). Влажные атмосферы ($pH_2O = 0.02$ атм) получали пропусканием газов через водяной барботер, термостатированный при температуре 25°C. Кроме того, для оценки ионного и электронного вкладов в общую проводимость была исследована проводимость как функция парциального давления кислорода pO_2 при температурах от 700 до 900°C.

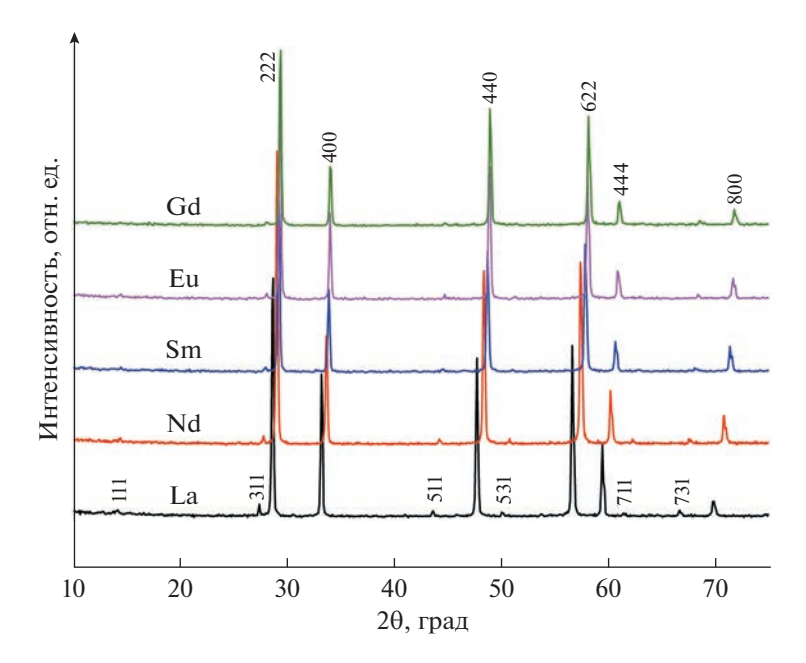


Рис. 1. Дифрактограммы чистых Ln_2 Hf₂O₇ (Ln = La, Nd, Sm, Eu, Gd), синтезированных при 1600°С.

РЕЗУЛЬТАТЫ И ОБСУЖДЕНИЕ

Зависимость параметра решетки гафнатов РЗЭ от ионного радиуса лантаноида

На рис. 1 представлены результаты исследования чистых гафнатов РЗЭ со структурой пирохлора Ln_2 Hf₂O₇ (Ln= La, Nd, Sm, Eu, Gd) методом РФА. Параметр решетки уменьшается от 10.775(2) Å для La_2 Hf₂O₇ до 10.519(1) Å для Gd_2 Hf₂O₇.

На рис. 2 представлены дифрактограммы твердых растворов замещения в подрешетку гафния катионами лантаноида $Ln_{2.1}$ Hf_{1.9}O_{6.95} (Ln = La, Nd,Sm, Eu). Параметр решетки постепенно уменьшается от 10.786(3) Å для $La_{21}Hf_{19}O_{6.95}$ до 10.497(3) Å для $Eu_{2.1}Hf_{1.9}O_{6.95}$. На рис. 3 представлена зависимость параметра решетки от порядкового номера лантаноида для обеих серий гафнатов (чистых и замещенных). Следует обратить внимание на то, что для серии $Ln_2Hf_2O_7$ (Ln = La, Nd, Sm, Eu, Gd) наблюдается практически линейная зависимость. Для серии легированных гафнатов $Ln_{21}Hf_{19}O_{6.95}$ (Ln = La, Nd, Sm, Eu) параметры решетки выше, чем для чистых пирохлоров для всех составов, кроме гафната европия $Eu_{2.1}Hf_{1.9}O_{6.95}$. Параметр решетки у него оказался меньше, чем у чистого пирохлора Eu₂Hf₂O₇. Наблюдаемое явление можно связать с переменной валентностью европия и с неоднозначным его распределением между позициями Eu и Hf в связи с близостью морфотропного перехода пирохлор ⇔ флюорит в ряду гафнатов РЗЭ [42, 43]. Структура пирохлора, согласно [44], формируется при соотношении ионных радиусов rA/rB ~

 $\sim 1.48-1.76$. Для $\rm Eu_2Hf_2O_7$ это соотношение равно 1.50. Микушкевич (Мікиѕкіеwісz) [38] после отжига смеси нанопорошков оксидов при 1350°С, 2 ч и давлении 15 МПа получил смесь пирохлора $\rm Eu_2Hf_2O_7$ и $\rm Eu(OH)_3$ ($\sim 8\%$). В настоящей работе использование механоактивации и последующего отжига прессовок при 1600°С, 3 ч, обеспечило синтез однофазного пирохлора (сверхструктурные линии (511), (531), (731) хорошо видны на рис. 1).

Теоретическая плотность, рассчитанная из параметров кристаллической решетки, повышается с увеличением массы лантаноида (табл. 3). Синтезированные керамики получились плотными: относительная плотность практически во всех случаях была более 90%. Исключением являлся образец $Sm_2Hf_2O_7$, относительная плотность которого составила 82.2%. Возможно, это является следствием недостаточного времени для синтеза гафната самария, в состав которого входят достаточно крупные катионы.

Температурные зависимости проводимости гафнатов $P39 Ln_2Hf_2O_7(Ln = Nd, Sm, Eu, Gd)$ в сухом и влажном воздухе на переменном и постоянном токе

Среди чистых гафнатов РЗЭ Ln_2 Hf₂O₇ (Ln =Nd, Sm, Eu, Gd) максимальную проводимость в сухом и влажном воздухе показал Gd_2 Hf₂O₇ (рис. 4a). При 700°C его проводимость, согласно импедансным измерениям, составила ~1 × 10⁻³ Cм/см. Согласно работе Лопез-Коты (Lopez-Cota) [4], гафнат гадолиния, синтезированный с использо-

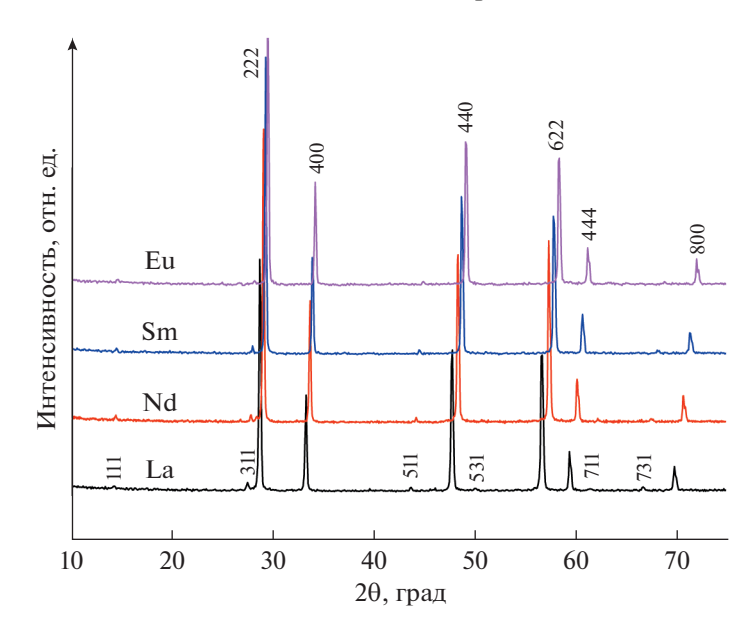


Рис. 2. Дифрактограммы легированных твердых растворов $Ln_{2.1}$ Hf_{1.9}O_{6.95} (Ln = La, Nd, Sm, Eu), синтезированных при 1600°C.

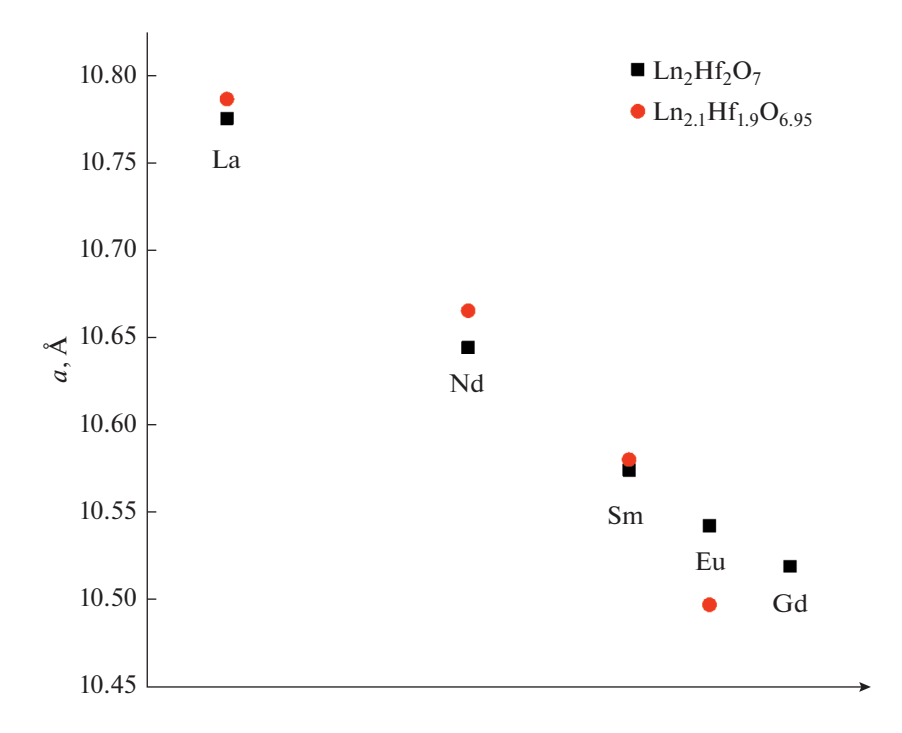


Рис. 3. Зависимость параметра решетки Ln_2 Hf $_2$ O $_7$ (Ln = La, Nd, Sm, Eu, Gd) (квадраты) и $Ln_{2.1}$ Hf $_{1.9}$ O $_{6.95}$ (Ln = La, Nd, Sm, Eu) (круги) от порядкового номера лантаноида.

ванием механической активации оксидов, имел почти на порядок меньшую кислород-ионную проводимость $\sim 1.2 \times 10^{-4}$ См/см при 750°С. Следует отметить явное превышение проводимости во влажном воздухе над проводимостью в сухом воздухе в интервале температур 350—450°С, что может свидетельствовать о наличии протонного

вклада проводимости. При этом энергии активации (табл. 4) в сухом и влажном воздухе минимальны у $Gd_2Hf_2O_7$. При температурах выше 600° С проводимость носит кислород-ионный характер с энергией активации 0.74 эВ. У европиевого гафната, в отличие от самариевого и гадолиниевого, высокая дырочная составляющая про-

Таблица 3. Плотность исследуемых соединений

Состав	Плотность, определенная гидростатическим взвешиванием (толуол), г/см ³	Геометрическая плотность, г/см ³	Теоретическая плотность, г/см ³	Относительная гидростатическая плотность, %	Относительная геометрическая плотность, %
La ₂ Hf ₂ O ₇		7.4	7.93		93.3
$Nd_2Hf_2O_7$	7.85	7.48	8.28	94.8	90.3
$Sm_2Hf_2O_7$		7.10	8.65		82.2
$Eu_2Hf_2O_7$		8.20	8.76		93.6
$Gd_2Hf_2O_7$		7.70	8.94		91.8
$\text{La}_{2.1}\text{Hf}_{1.9}\text{O}_{6.95}$	7.45	7.27	7.86	94.8	92.5
$Nd_{2.1}Hf_{1.9}O_{6.95}$	7.44	7.63	8.24	90.4	92.7
$Sm_{2.1}Hf_{1.9}O_{6.95}$	7.98		8.45	94.4	
Eu _{2.1} Hf _{1.9} O _{6.95}	8.53		8.86	96.9	

Таблица 4. Энергия активации чистых гафнатов РЗЭ состава Ln_2 Hf₂O₇

Состав Ln_2 Н f_2 О $_7$	Атмосфера (воздух)	Область температур, °С	$E_{\rm a}~(\pm 0.01), {\rm 9B}$
Nd	сухой	500-900	1.34
Nu	влажный		1.21
	сухой	300-600	0.93
Sm	сухои	600–900	0.80
SIII	влажный	300-600	0.91
		600-900	0.80
Eu	сухой	400–900	1.06
Lu	влажный	400–900	1.03
	сухой	300-600	0.93
Gd	Сухои	600-900	0.74
Ou	влажный	300-600	0.89
		600–900	0.74

водимости на воздухе, связанная с переменной валентностью катиона европия [34].

Для $Gd_2Hf_2O_7$ также были проведены измерения проводимости на постоянном токе в сухой и влажной атмосферах воздуха и азота (рис. 4б). К сожалению, измерения проводились при температурах, превышающих 450° С, и поэтому достоверных данных о протонной проводимости мы не получили. Кислород-ионная проводимость составила 7×10^{-4} См/см при 700° С. Чуть более низкую проводимость, полученную четырехзондо-

вым методом на постоянном токе, мы связываем с более низкой плотностью таблетки, использованной для этого измерения.

Тем не менее, достаточно высокая величина проводимости, полученная для этого материала, позволяет надеяться, что легирование кальцием может быть успешнее для $Gd_2Hf_2O_7$, чем для $Gd_2Zr_2O_7$ [26].

Для чистых гафнатов европия $Eu_2Hf_2O_7$ и самария $Sm_2Hf_2O_7$ результаты импедансных измерений в сухом и влажном воздухе представлены

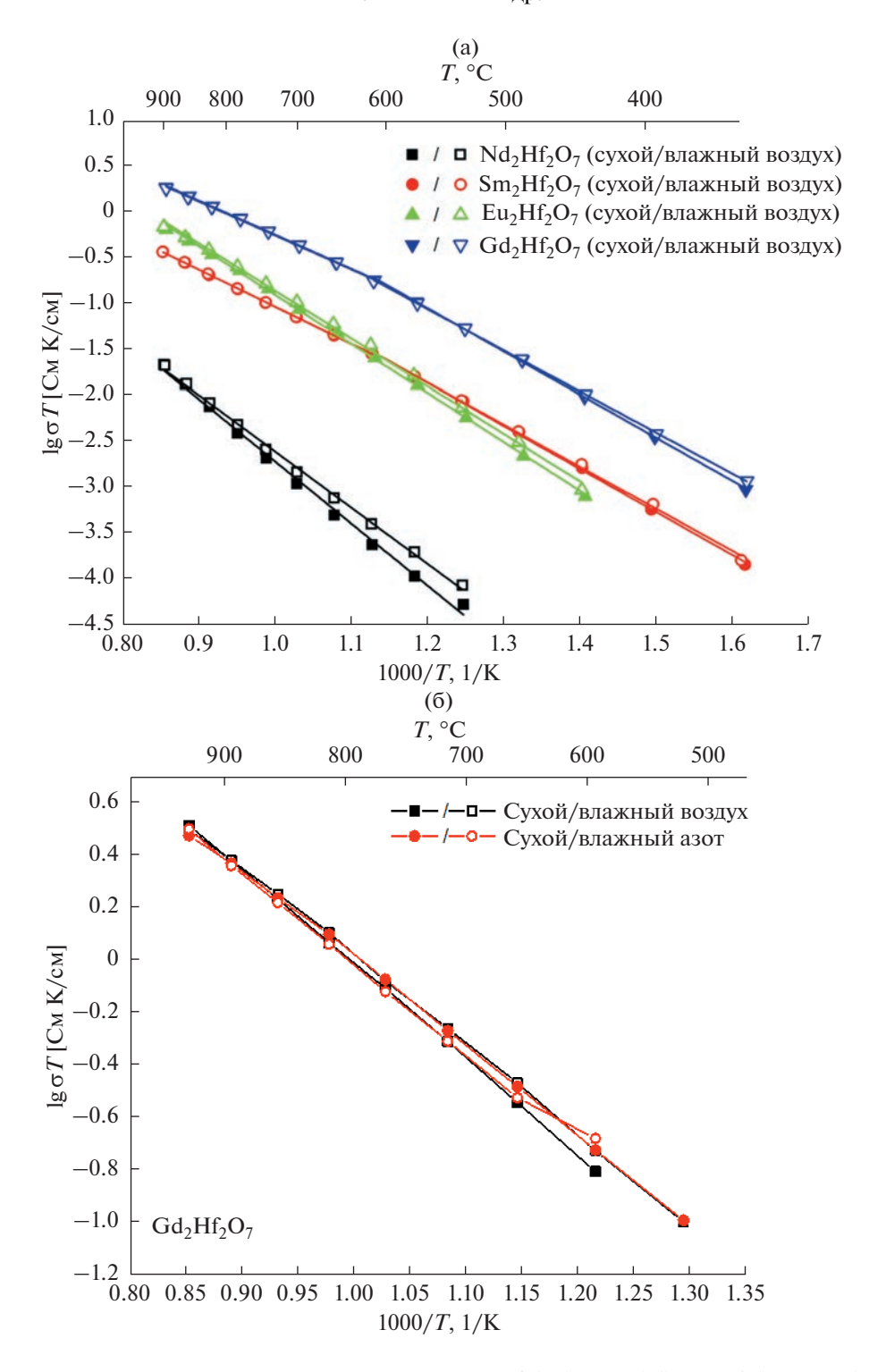


Рис. 4. (а) Температурная зависимость проводимости чистых $Ln_2Hf_2O_7$ (Ln=Nd, Sm, Eu, Gd) в сухом (закрытые символы) и влажном воздухе (открытые символы). Измерения проведены методом импедансной спектроскопии. (б) Температурная зависимость проводимости $Gd_2Hf_2O_7$ в сухом (закрытые символы) и влажном (открытые символы) воздухе и азоте. Измерения проведены четырехзондовым методом на постоянном токе.

на рис. 4а. Для данных сложных оксидов не было обнаружено видимого вклада протонной составляющей проводимости, что совпало с данными измерений на постоянном токе.

Протонную проводимость пирохлоров связывают с гидратацией вакансий кислорода в позиции 48f пирохлора. Вакансия кислорода в позиции 48f окружена двумя Hf^{4+} и двумя Ln^{3+} катио-

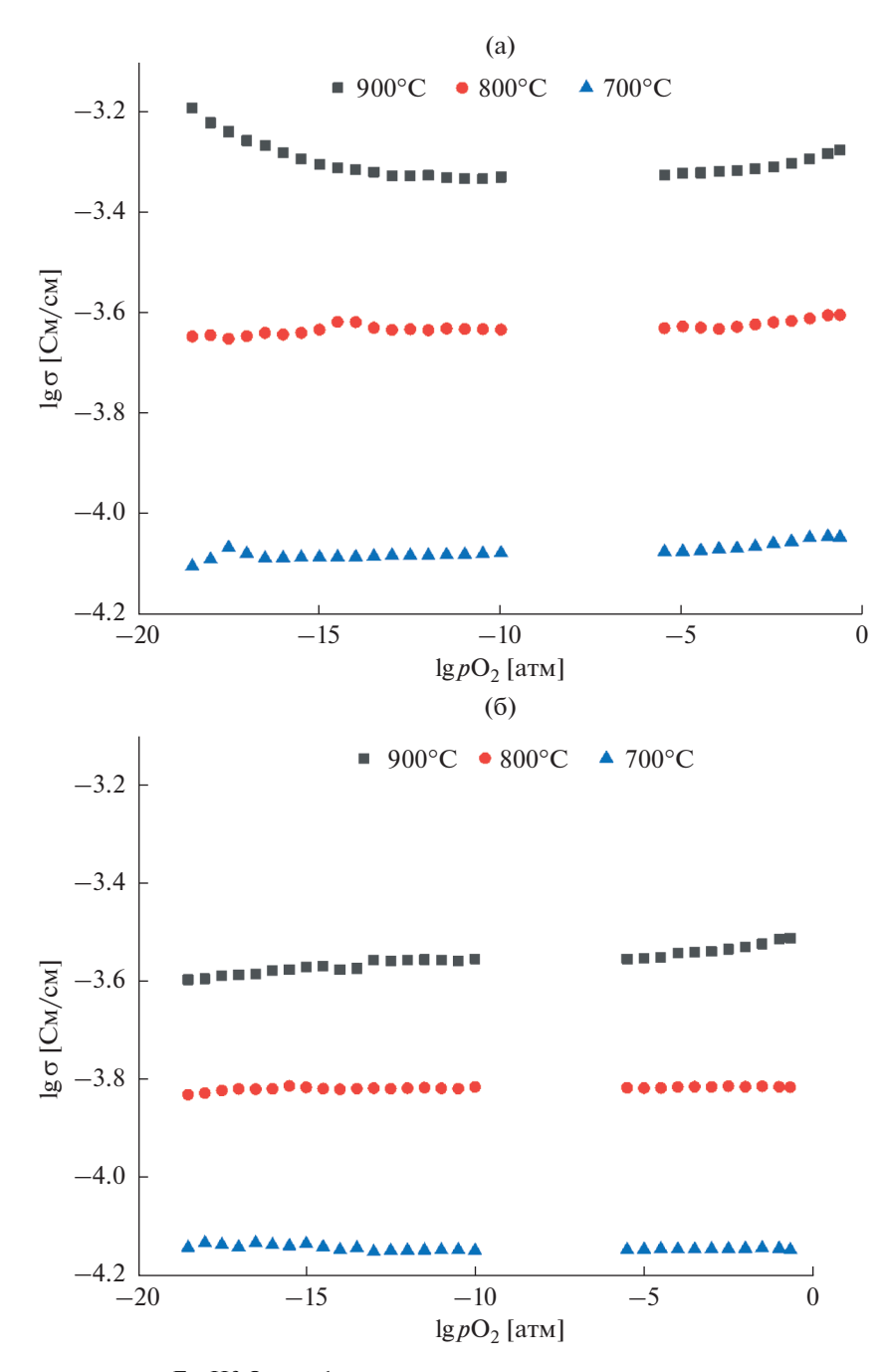


Рис. 5. (а) Общая проводимость $Eu_2Hf_2O_7$ как функция парциального давления кислорода при различных температурах. (б) Общая проводимость $Sm_2Hf_2O_7$ как функция парциального давления кислорода при различных температурах.

нами. Степень гидратации вакансии зависит от основности окружающих ее катионов. Основные свойства катионов РЗЭ убывают с уменьшением ионного радиуса от La до Lu. Так, в семействе легированных гафнатов РЗЭ протонная проводимость исчезает по мере ослабления основных свойств катионов РЗЭ.

Для гафнатов европия и самария впервые были получены зависимости общей проводимости от парциального давления кислорода, и эти дан-

ные представлены на рис. 5а, 5б для $Eu_2Hf_2O_7$ и $Sm_2Hf_2O_7$ соответственно. Для $Eu_2Hf_2O_7$ величина общей проводимости при $700^{\circ}C$ составляет $\sim 1 \times 10^{-4}$ См/см, что совпадает со значением, полученным на воздухе методом импедансной спектроскопии. Следует отметить, что для $Eu_2Hf_2O_7$ характерен постепенный рост дырочной проводимости, начиная с низких парциальных давлений кислорода (10^{-12} атм) при $700^{\circ}C$ (рис. 5а). При $800^{\circ}C$ появляется небольшая область чисто

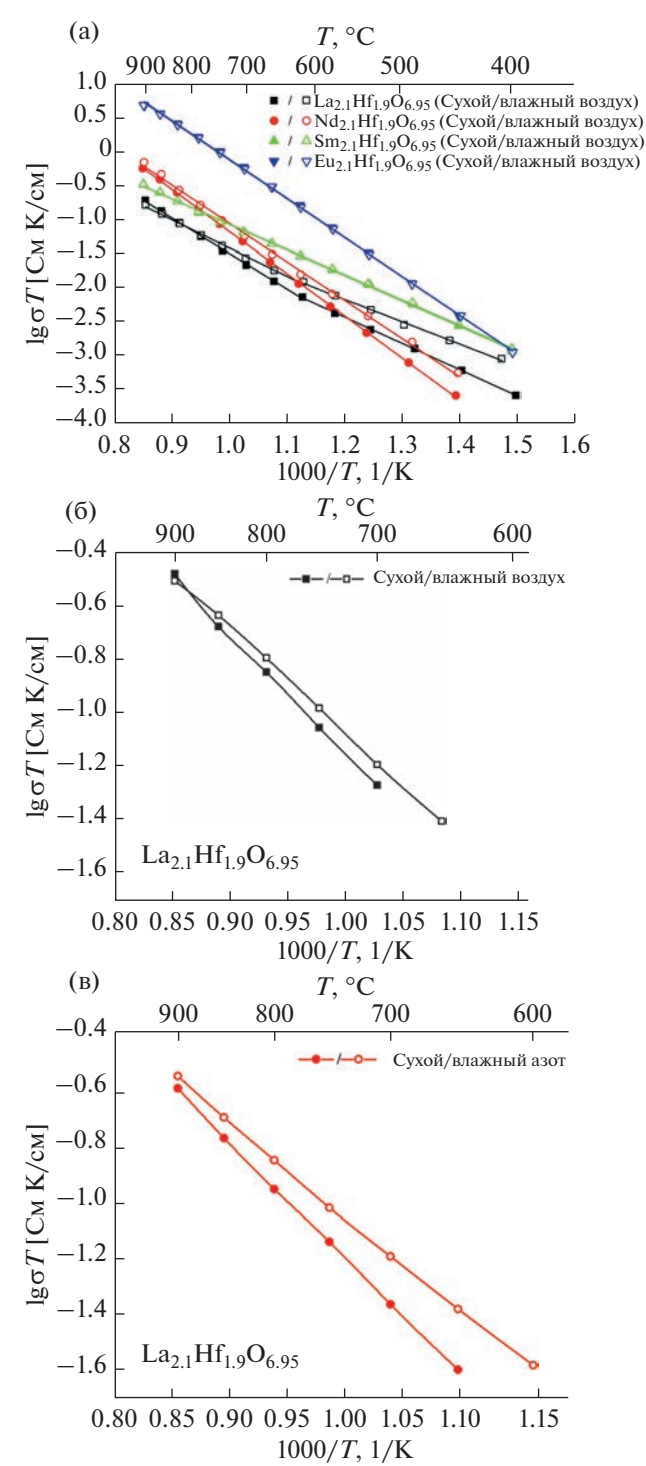


Рис. 6. (а) Температурная зависимость проводимости твердых растворов $Ln_{2.1}$ $Hf_{1.9}O_{6.95}$ (Ln = La [40], Nd [39], Sm [34], Eu [34]) в сухом (закрытые символы) и влажном воздухе (открытые символы). Измерения проведены методом импедансной спектроскопии. (б) Температурная зависимость проводимости $La_{2.1}$ $Hf_{1.9}O_{6.95}$ в сухом (закрытые символы) и влажном (открытые символы) воздухе. Измерения проведены четырехзондовым методом на постоянном токе. (в) Температурная зависимость проводимости $La_{2.1}$ $Hf_{1.9}O_{6.95}$ в сухом (закрытые символы) и влажном (открытые символы) азоте. Измерения проведены четырехзондовым методом на постоянном токе.

ионной проводимости (10^{-15} – 10^{-5} атм). При 900°С мы видим появление электронной проводимости n-типа при сохранении той же области кислород-ионной проводимости. Таким образом, $Eu_2Hf_2O_7$ имеет узкий электролитический домен и значительный вклад дырочной проводимости в окислительных условиях. Значительно более выигрышной выглядит ситуация для $Sm_2Hf_2O_7$ (рис. 5б). Область чисто ионной проводимости у него ~ 10^{-18} –1 атм сохраняется при 700 и 800°С, и только при 900°С наблюдается рост дырочной проводимости в интервале 10^{-5} –1 атм.

Общая проводимость $Sm_2Hf_2O_7$ составляет \sim 7.2 \times 10^{-5} См/см при 700° С, что практически совпадает со значением, полученным на воздухе методом импедансной спектроскопии (рис. 4а). Таким образом, $Sm_2Hf_2O_7$ представляется подходящем соединением для дальнейшего гетеровалентного легирования с целью увеличения кислород-ионной проводимости.

Исследование поведения чистого гафната неодима $Nd_2Hf_2O_7$ методом импедансной спектроскопии показало наличие протонного вклада, в отличие от $La_2Hf_2O_7$, проявляющего диэлектрические свойства [39, 40].

Таким образом, протонная проводимость в ряду чистых гафнатов со структурой пирохлора обнаружена достоверно только у $Nd_2Hf_2O_7$, тогда как у $Gd_2Hf_2O_7$ присутствие протонной составляющей ниже $440^{\circ}C$ требует дальнейших доказательств.

Температурные зависимости проводимости гафнатов РЗЭ Ln_{2.1}Hf_{1.9}O_{6.95} (Ln = La, Nd, Sm, Eu) в сухом и влажном воздухе на переменном и постоянном токе

На рис. ба представлены температурные зависимости проводимости, измеренной методом импедансной спектроскопии, в сухом и влажном воздухе для $Ln_{2,1}Hf_{1,9}O_{6,95}$ (Ln = La, Nd, Sm, Eu). Учитывая высокую плотность образцов с лантаном и неодимом [39, 40], можно уверенно полагать наличие протонного вклада для $Ln_{21}Hf_{19}O_{6.95}$ (*Ln* = La, Nd) твердых растворов крупных РЗЭ катионов. Для La_{2.1}Hf_{1.9}O_{6.95} дополнительно были проведены измерения проводимости на постоянном токе в сухой и влажной атмосферах воздуха и азота (рис. 66, 6в). Оказалось, что в данном случае, в отличие от ранее исследованных чистых гафнатов РЗЭ, наблюдается превышение проводимости в обеих влажных атмосферах относительно сухих, причем разница между проводимостями выше в азоте, чем на воздухе. Действительно, на воздухе вакансии кислорода, число которых увеличивается за счет легирования, за-

	* *	2.1 1.7 0.73	
Состав <i>Ln</i> _{2.1} Hf _{1.9} O _{6.95}	Атмосфера, (воздух)	Область температур, °С	E_{a} (±0.01), \ni B
	×	400-600	0.77
La –	сухой	600-900	1.04
La	влажный	400-600	0.66
		600-900	0.82
Nd -	сухой	450–900	1.23
Nu	влажный	400–600 600–900 400–600 600–900	1.12
Sm	сухой	400–900	0.74
Sili	влажный		0.74
Eu	сухой	400–900	1.14
Eu	влажный	400-900	1.14

Таблица 5. Энергия активации легированных гафнатов РЗЭ состава $Ln_{2.1}$ $Hf_{1.9}O_{6.95}$

действованы в кислородном и протонном переносе. В азотной атмосфере все вакансии заняты в протонном переносе, поэтому разница больше в азоте, чем на воздухе. Протонный вклад сохраняется вплоть до 750° C, согласно импедансным измерениям для Ln_2 $_1$ Hf $_1$ $_9$ O $_6$ $_9$ 5 $_5$ 5 $_5$ 6 $_5$ 6 $_5$ 7 $_5$ 8 $_7$ 9 $_8$ 9 $_7$ 9 $_$

Величина энергии активации (табл. 4, 5) для протонной проводимости ниже у твердого раствора $Nd_{2.1}Hf_{1.9}O_{6.95}$, чем у чистого $Nd_2Hf_2O_7$, и составляет 1.12 против 1.21 эВ соответственно. Твердые растворы $Ln_{2,1}Hf_{1,9}O_{6,95}$ (Ln = Sm, Eu) демонстрируют кислород-ионную проводимость. Протонный вклад у них отсутствует. Энергия активации проводимости у $Sm_{2.1}Hf_{1.9}O_{6.95}$ (0.74 эВ) ниже, чем у чистого $Sm_2Hf_2O_7$ (0.80 эВ),что говорит в пользу увеличения кислород-ионной проводимости при введении вакансий. Следует отметить некоторое выпадение самариевых образцов в обеих сериях гафнатов из общей тенденции поведения исследованных образцов. Такое поведение, по-видимому, связано с отсутствием вклада протонной проводимости в общую ионную проводимость. Для $Eu_{2.1}Hf_{1.9}O_{6.95}$ (1.14 эВ) и $Eu_{2}Hf_{2}O_{7}$ (1.03 эВ) мы наблюдаем другую тенденцию. Несмотря на введение дополнительных вакансий, присутствие катионов европия, легко меняющих свою валентность при температурах ~800-900°C, а также возможное его вхождение не только в позицию гафния, усложняет общую картину проводимости. Вместе с тем, повышенная проводимость легированного европиевого образца по сравнению с нелегированным аналогом европия во всем исследованном интервале температур может быть обусловлена влиянием (увеличением) вклада электронной проводимости за счет возможности изменения степени окисления европия от +3 до +2.

ЗАКЛЮЧЕНИЕ

В ходе настоящей работы методом механической активации с последующим высокотемпературным отжигом синтезированы чистые гафнаты P3Э $Ln_2Hf_2O_7$ (Ln = La, Nd, Sm, Eu, Gd). Проведено исследование транспортных свойств полученных керамик и проведен сравнительный анализ проводимостей чистых и допированных гафнатов РЗЭ $Ln_{2.1}$ Hf_{1.9}O_{6.95} (Ln = La, Nd, Sm, Eu). Наибольшей кислород-ионной проводимостью обладал гафнат гадолиния $Gd_2Hf_2O_7$ (~1 × 10^{-3} Cм/см при 700°С), и впервые доказано двумя методами измерения на переменном и постоянном токе, что ее величина близка к проводимости Gd₂Zr₂O₇ $(\sim 2 \times 10^{-3} \text{ См/см} \text{ при } 700^{\circ}\text{C})$. Протонная проводимость среди чистых гафнатов была установлена лишь у Nd₂Hf₂O₇ во всем исследованном интервале температур и у $Gd_2Hf_2O_7$ при температурах меньших 450°C. Однако наличие протонной проводимости для гафната гадолиния подтверждается только импедансными измерениями. Продемонстрировано, что в ряду $Ln_2Hf_2O_7$ (Ln = La, Nd,Sm, Gd) кислород-ионная проводимость возрас-

тает с уменьшением ионного радиуса лантаноида. Измерения проводимости в зависимости от парциального давления кислорода показали, что Sm₂Hf₂O₇ обладает широким интервалом кислород-ионной проводимости ($\sim 10^{-18} - 1$ атм при 700. 800°C), а вклад дырочной проводимости на воздухе у него отсутствует, в отличие от $Eu_2Hf_2O_7$. Легирование лантаноилом в подрешетку гафния привело к увеличению общей проводимости гафнатов лантана, неодима и европия. Среди твердых растворов $Ln_{2.1}$ $Hf_{1.9}O_{6.95}$ (Ln = La, Nd, Sm, Eu) протонная проводимость ~8 × 10⁻⁵ См/см при 700°С была обнаружена у $Ln_{2.1}$ Hf_{1.9}O_{6.95} (Ln = La, Nd). При уменьшении ионного радиуса протонная проводимость исчезает в случае $Ln_{21}Hf_{19}O_{6.95}$ (Ln = Sm. Eu), а кислород-ионная возрастает.

ФИНАНСИРОВАНИЕ РАБОТЫ

Работа поддержана субсидией Минобрнауки, выделенной ФИЦ ХФ РАН на выполнение государственного задания по теме "Наноструктурированные системы нового поколения с уникальными функциональными свойствами" (регистрационный номер №122040500071-0). Исследование проводимости материалов частично выполнено в рамках темы государственного задания ФИЦ ПХФ и МХ РАН (номер государственной регистрации АААА-А19-119061890019-5).

КОНФЛИКТ ИНТЕРЕСОВ

Авторы заявляют, что у них нет конфликта интересов.

СПИСОК ЛИТЕРАТУРЫ

- 1. Diaz-Guillen, J.A., Fuentes, A.F., Diaz-Guillen, M.R., Almanza, J.M., Santamaria, J., and Leon, C., The effect of homovalent A-site substitutions on the ionic conductivity of pyrochlore-type Gd₂Zr₂O₇, *J. Power Sources*, 2009, vol. 186, no. 2, p. 349.
- 2. Yamamura, H., Nishino, H., Kakinuma, K., and Nomura, K., Electrical conductivity anomaly around fluorite-pyrochlore phase boundary, *Solid State Ionics*, 2003, vol. 158, p. 359.
- 3. Vassen, R., Cao, X., Tietz, F., Basu, D., and Stover, D., Zirconates as new materials for thermal barrier coatings, *J. Amer. Ceram. Soc.*, 2000, vol. 83, p. 2023.
- 4. Lopez-Cota, F.A., Cepeda-Sanchez, N.M., Diaz-Guillen, J.A., Dura, O.J., Lopez de la Torre, M.A., Maczka, M., Ptak, M., and Fuentes, A.F., Electrical and thermophysical properties of mechanochemically obtained lanthanide hafnates, *J. Amer. Ceram. Soc.*, 2017, p. 1.
 - https://doi.org/10.1111/jace.14712
- 5. Шляхтина, А.В., Щербакова, Л.Г. Новые твердые электролиты в семействе пирохлоров. Электрохимия. 2012. Т. 48. С. 3. [Shlyakhtina, A.V. and Shcher-

- bakova, L.G., New solid electrolytes of the pyrochlore family, *Russ. J. Electrochem.*, 2012, vol. 48, p. 1.] https://doi.org/10.1134/S1023193512010144
- Mullens, B.G., Zhang, Z., Avdeev, M., Brand, H.E.A., Cowie, B.C.C., Muzquiz, M.S., and Kennedy, B.J., Effect of long and short-range disorder on the oxygen ionic conductivity of Tm₂(Tm_{2-x}Tm_x)O_{7-x/2} "stuffed" pyrochlores, *Inorg. Chem.*, 2021, vol. 60, p. 4517. https://doi.org/10.1021/acs.inorgchem.0c03363
- Mullens, B.G., Zhang, Z., Avdeev, M., Brand, H.E.A., Cowie, B.C.C., Muzquiz, M.S., and Kennedy, B.J., Average and local ordering of Yb₂(Ti_{2 x}Yb_x)O_{7 x/2} 'stuffed' pyrochlores: The development of a robust structural model, *J. Solid State Chem.*, 2021, vol. 302, p. 122412. https://doi.org/10.1016/j.jssc.2021.122412
- Lyskov, N.V., Shchegolikhin, A.N., Stolbov, D.N., Kolbanev, I.V., Gomes, E., Abrantes, J.C.C., and Shlyakhtina, A.V., Study of oxygen-ion conductivity and luminescence in the ZrO₂-Nd₂O₃ system: impact of local heterogeneity, *Electrochim. Acta*, 2022, vol. 403, p. 139632.
- Shlyakhtina, A.V., Belov, D.A., Karyagina, O.K., and Shcherbakova, L.G., Ordering processes in Ln₂TiO₅ (Ln = Dy Lu): The role of thermal history, *J. Alloys Compd.*, 2009, vol. 479, p. 6.
- 10. Шляхтина, А.В., Белов, Д.А., Стефанович, С.Ю., Щербакова, Л.Г. Явления наноструктурирования в кислородпроводящих сложных оксидах тяжелых РЗЭ. Электрохимия. 2011. Т. 47. С. 661. [Shlyakhtina, A.V., Belov, D.A., Stefanovich, S.Y., and Shcherbakova, L.G., Nanostructuring phenomena in oxygen-conducting complex oxides of heavy REE, Russ. J. Electrochem., 2011, vol. 47, p. 620.]
- 11. Zvonareva, I., Fu, X.-Z., Medvedev, D., and Shao, Z., Electrochemistry and energy conversion features of protonic ceramic cells with mixed ionic-electronic electrolytes, *Energy Environ. Sci.*, 2022, vol. 15, p. 439. https://doi.org/10.1039/D1EE03109K
- 12. Medvedev, D.A., Current drawbacks of proton-conducting ceramic materials: How to overcome them for real electrochemical purposes, *Curr. Opin. Green Sustain. Chem.*, 2021, vol. 32, p. 100549. https://doi.org/10.1016/j.cogsc.2021.100549
- 13. Kasyanova, A.V., Radenko, A.O., Lyagaeva, Y.G., and Medvedev, D.A., Lanthanum-Containing Proton-Conducting Electrolytes with Perovskite Structures, *Membr. and Membr. Technol.*, 2021, vol. 3, p. 73. https://doi.org/10.1134/S2517751621020050
- 14. Hagiwara, T., Yamamura, H., and Nishino, H., Relationship between oxide-ion conductivity and ordering of oxygen vacancy in the Ln₂Zr₂O₇ (Ln = La, Nd and Eu) system using high temperature XRD, *J. Fuel Cell Sci. Technol.*, 2011, vol. 8, p. 051020.
- 15. Xia, X.L., Gao, S., Liu, Z.G., and Ouyang, J.H., The influence of pentavalent Nb substitution for Zr on electrical property of oxide-ion conductor Gd₂Zr₂O₇, *Electrochim. Acta.*, 2010, vol. 55, no. 19, p. 5301.

- Anokhina, I.A., Animitsa, I.E., Voronin, V.I., Vykhodets, V.B., Kurennykh, T.E., Molchanova, N.G., Vylkov, A.I., Dedyukhin, A.E., and Zaikov, Y.P., The structure and electrical properties of lithium doped pyrochlore Gd₂Zr₂O₇, *Ceram. Intern.*, 2021, vol. 47, p. 1949.
- 17. Sharma, S.K., Mohanty, H.S., Pradhan, D.K., Kumar, A., Shukla, V.K., Singh, F., and Kulriya, P.K., Structural, dielectric and electrical properties of pyrochlore-type Gd₂Zr₂O₇ ceramic, *J. Mater. Sci: Mater. Electron.*, 2020, vol. 31, p. 21959.
- 18. Шляхтина, А.В., Горшков, Н.В., Колбанев, И.В., Шефер, К.И., Касьянова, А.В., Медведев, Д.А. Электрические свойства Gd₂Zr₂O₇, допированного бериллием. *Неорган. материалы.* 2021. Т. 57. № 11. С. 1253. [Shlyakhtina, A.V., Gorshkov, N.V., Kolbanev, I.V, Shefer, K.I., Kasyanova, A.V., and Medvedev, D.A., Electrical properties of Gd₂Zr₂O₇ doped with beryllium, *Neorgan. materialy* (in Russian), 2021, vol. 57, no. 11, p. 1253.] https://doi.org/10.31857/S0002337X21110117
- Liu, Z.G., Gao, S., Ouyang, J.H., and Xia, X.L., Influence of MoO₃ doping on structure and electrical conductivity of defect fluorite-type Gd₂Zr₂O₇, *J. Alloys Compd.*, 2010, vol. 506, p. 868. https://doi.org/10.1016/j.jallcom.2010.07.101
- Anithakumari, P., Grover, V., Nandi, C., Bhattacharyya, K., and Tyagi, A.K., Utilizing non-stoichiometry in Nd₂Zr₂O₇ pyrochlore: exploring superior ionic conductors, *RSC Adv.*, 2016, vol. 6, p. 97566. https://doi.org/10.1039/C6RA08722A
- 21. Shimura, T., Komori, M., and Iwahara, H., Ionic conduction in pyrochlore-type oxides containing rare earth elements at high temperature, *Solid State Ionics*, 1996, vol. 86, p. 685.
- 22. Omata, T. and Otsuka-Yao-Matsuo, S., Electrical properties of proton-conducting Ca²⁺-doped La₂Zr₂O₇ with a pyrochlore-type structure, *J. Electrochem. Soc.*, 2001, vol. 148, p. 252.
- Omata, T., Ikeda, K., Tokashiki, R., and Otsuka-Yao-Matsuo, S., Proton solubility for La₂Zr₂O₇ with a pyrochlore structure doped with a series of alkaline-earth ions, *Solid State Ionics*, 2004, vol. 167, p. 389.
- 24. Labrincha, J.A., Frade, J.R., and Marques, F.M.B., Protonic conduction in La₂Zr₂O₇ based pyrochlore materials, *Solid State Ionics*, 1997, vol. 99, p. 33.
- Antonova, E.P., Farlenkov, A.S., Tropin, E.S., Eremin, V.A., Khodimchuk, A.V., and Ananiev, M.V., Oxygen isotope exchange, water uptake and electrical conductivity of Ca-doped lanthanum zirconate, *Solid State Ionics*, 2017, vol. 306, p. 112.
- 26. Shlyakhtina, A.V., Abrantes, J.C.C., Gomes, E., Lyskov, N.V., Konysheva, E.Yu., Chernyak, S.A., Kharitonova, E.P., Karyagina, O.K., Kolbanev, I.V., and Shcherbakova, L.G., Evolution of oxygen-ion and proton conductivity in Ca doped $Ln_2Zr_2O_7$ (Ln = Sm, Gd), located near pyrochlore fluorite phase boundary, *Materials*, 2019, vol. 12, p. 2452.
- 27. Eurenius, K.E.J., Ahlberg, E., and Knee, C.S., Role of B-site ion on proton conduction in acceptor-doped

- $Sm_2B_2O_{7-\delta}$ (B = Ti, Sn, Zr and Ce) pyrochlores and C-type compounds, *Dalton Trans.*, 2011, vol. 40, p. 3946. https://doi.org/10.1039/c0dt01347a
- 28. Shlyakhtina, A.V., Lyskov, N.V., Konysheva, E.Yu., Chernyak, S.A., Kolbanev, I.V., Vorobieva, G.A., and Shcherbakova, L.G., Gas-tight proton-conducting $Nd_{2-x}Ca_xZr_2O_{7-\delta}$ (x=0,0.05) ceramics, *J. Solid State Electrochem.*, 2020, vol. 24, p. 1475. https://doi.org/10.1007/s10008-020-04574-6
- 29. Eurenius, K.E.J., Ahlberg, E., Ahmed, I., Eriksson, S.G., and Knee, C.S., Investigation of proton conductivity in Sm_{1.92}Ca_{0.08}Ti₂O_{7 δ} and Sm₂Ti_{1.92}Y_{0.08}O_{7 δ} pyrochlores, *Solid State Ionics*, 2010, vol. 181, p. 148.
- 30. Kiruthika, G.V.M., Govindan Kutty, K.V., and Varadarju, U.V., Effect of aliovalent ion substitution on the oxide ion conductivity in rare-earth pyrohafnates $RE_{2-x}Sr_xHf_2O_{7-\delta}$ and $RE_2Hf_{2-x}Al_xO_{7-\delta}$ (RE = Gd and Nd; x=0, 0.1, and 0.2), *Solid State Ionics*, 1998, vol. 110, p. 335. https://doi.org/10.1016/S0167-2738(98)00140-4
- 31. Cepeda-Sanchez, N.M., Dias-Guillen, J.A., Macka, M., Amador, U., and Fuentes, A., Mechanochemical synthesis, crystal structure and ion conduction in the Gd₂Hf₂ _xTi_xO₇ system, *J. Mater. Sci.*, 2017, vol. 52, p. 11933. https://doi.org/10.1007/s10853-017-1037-2
- 32. Cepeda-Sanchez, N.M., Fuentes, A.F., Lopez-Cota, F.A., Rodrigues-Reyes, M., and Dias-Guillen, J.A., Mechanochemical synthesis and electrical properties of Gd₂Hf₂ $_{x}$ Zr_xO₇ solid electrolytes for their use in SOFC's, *J. Appl. Electrochem.*, 2015, vol. 45, p. 1231. https://doi.org/10.1007/s10800-015-0828-x
- 33. Sardar, S., Kale, G., and Ghadiri, M., Microstructure and impedance spectroscopy of high density holmium hafnate (Ho₂Hf₂O₇) from nanoparticulate compacts, *Mater. Sci. Eng. B*, 2021, vol. 265, p. 114989. https://doi.org/10.1016/j.mseb.2020.114989
- 34. Shlyakhtina, A.V., Lyskov, N.V., Shchegolikhin, A.N., Kolbanev, I.V., Chernyak, S.A., and Konysheva, E.Yu., Valence state of europium and samarium in Ln₂Hf₂O₇ (Ln = Eu, Sm) based in oxygen-ion conductors, *Ceram. Internat.*, 2021, vol. 47, p. 26898. doi.org/https://doi.org/10.1016/j.ceramint.2021.06.099
- 35. Rejith, R.S., Sam Solomon, Influence of pyrochlore domains on the structure and electrical properties $Gd_{2-x}Dy_xZr_{1.5}Hf_{0.5}O_7$ energy materials, *J. Alloys and Compounds*, 2021, vol. 855, p. 157291.
- 36. Mikuśkiewicz, M., Migas, D., and Moskal, G., Synthesis and thermal properties of zirconate, hafnate and cerate of samarium, *Surface & Coatings Technol.*, 2018, vol. 354, p. 66. https://doi.org/10.1016/j.surfcoat.2018.08.096
- 37. Matovic, B., Maletaskic, J., Bucevac, D., Zagorac, J., Fajar, M., Yoshida, K., and Yano, T., Synthesis, characterization and sintering of Gd₂Hf₂O₇ powders synthesized by solid state displacement reaction at low temperature, *Ceram. Internat.*, 2018, vol. 44, p. 16972. https://doi.org/10.1016/j.ceramint.2018.06.138

- Mikuśkiewicz, M., Moskal, G., Migas, D., and Stopyr, M., Thermal diffusivity characterization of europium zirconate, cerate and hafnate, *Ceram. Internat.*, 2019, vol. 45, p. 2760. https://doi.org/10.1016/j.ceramint.2018.07.301
- 39. Shlyakhtina, A.V., Lyskov, N.V., Shchegolikhin, A.N., Chernyak, S.A., Knotko, A.V., Kolbanev, I.V., and Shcherbakova, L.G., Structure evolution, ionic and proton conductivity of solid solutions based on Nd₂Hf₂O₇, *Ceram. Internat.*, 2020, vol. 46, p. 17383. https://doi.org/10.1016/j.ceramint.2020.04.029
- Shlyakhtina, A.V., Lyskov, N.V., Nikiforova, G.E., Kasyanova, A.V., Vorobieva, G.A., Kolbanev, I.V., Stolbov, D.N., and Medvedev, D.A., Proton conductivity of La₂(Hf_{2 x}La_x)O_{7 x/2} "stuffed" pyrochlores, *Appl. Sci.*, 2022, vol. 12, p. 4342. https://doi.org/10.3390/app12094342

- 41. ZView (Scribner Associates Inc., USA).
- 42. Shlyakhtina, A.V. and Pigalskiy, K.S., Tolerance factor as the basic criterion in searching for promising oxygenion and proton conductors among $\text{Ln}_{2-x}\text{D}_x\text{M}_2\text{O}_{7-\delta}$ (Ln = La Lu; M = Sn, Ti, Zr, Hf; D = Sr, Ca, Mg; x=0,0.1) 3+/4+ pyrochlores, *Mater. Res. Bull.*, 2019, vol. 116, p. 72. https://doi.org/10.1016/j.materresbull.2019.04.021
- 43. Kreller, C.R. and Uberuaga, B.P., The role of cation ordering and disordering on mass transport in complex oxides, *Current Opinion in Solid State and Mater. Sci.*, 2021, vol. 25, p. 100899. https://doi.org/10.1016/j.cossms.2021.100899
- 44. Subramanian, M.A., Aravamudan, G., and Subba Rao, G.V., Oxide pyrochlores—a review, *Progress. Solid State Chem.*, 1983, vol. 15, p. 55. https://doi.org/10.1016/0079-6786(83)90001-8